## ВЛИЯНИЕ ДЕФОРМАЦИОННОЙ АКТИВАЦИИ ПОВЕРХНОСТИ ЭКОНОМНО-ЛЕГИРОВАННЫХ СТАЛЕЙ НА СТРУКТУРУ И СВОЙСТВА АЗОТИРОВАННОГО СЛОЯ

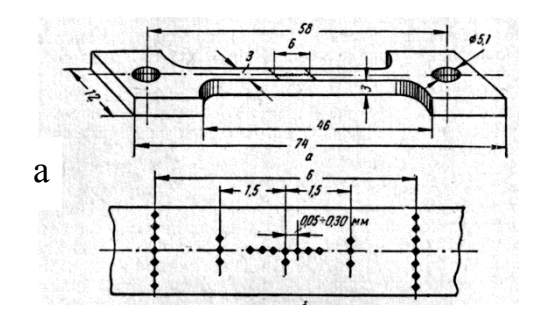
## Белоусов Н.Н., Варюхин В.Н.

Донецкий физико-технический институт им. А.А. Галкина, г. Донецк, e -mail:bilniknik52@gmail.com

Актуальность. Азотирование является одним из наиболее эффективных методов химико-термической обработка (ХТО) и поверхностного упрочнения экономнолегированных сталей (ЭЛС). Особое место среди ЭЛС занимают высокоазотистые стали (BAC), получаемые в результате объемного азотирования с частичной заменой атомами азота дорогостоящих элементов, в первую очередь, никеля и марганца. Несмотря на широкое применение различных технологий ХТО остаются нерешенными C: интенсификацией процессов вопросы, связанные поверхностного структурообразования; формированием заданной толщины и качества диффузионного слоя; поверхностным упрочнением, а также соотношением между поверхностным и объемным упрочнением ВАС. При интенсификации процессов формирования поверхностных ХТО-структур открываются новые возможности управления свойствами объемно азотированных сталей.

**Цель работы.** Исследовать возможность интенсификации процессов формирования поверхностных ХТО-структур экспериментальных составов ВАС типа Х18АГ10Н16, Х19АГ10С2, Х13АГ20Н6Ф и Х14АМСФ путем деформационной активации поверхности образцов в температурно-вакуумной камере (ТВК) машины ИМАШ20-75 (АЛА-ТОО).

**Материал и методы исследований.** В качестве основного материала исследований выбрана ВАС типа X18АГ10Н16 (объемная концентрация азота  $C_N$  = 0.06, 0.3, 0.5 и 1.1%N). Для сравнения использованы стали типа X19AΓ10C2  $(C_N = 0.4 \%N),$ Х13АГ20Н6Ф  $(C_N = 1.2 \% N)$ И Х14АМСФ  $(C_N = 1.1 \% N).$ экспериментов по азотированию изготовлены стандартные образцы с необходимой шероховатостью поверхности и нанесением отпечатков (на ПМТ-3). На рис. 1 (а) приведены форма и размеры ХТО-образцов, которые применялись в ТВК машины ИМАШ20-75 (АЛА-ТОО) для: осуществления процессов XTO: проведения деформационной активации поверхности; выполнения механических испытаний на разрыв. Изучение процессов *in situ* азотирования и кинетики формирования поверхностных структур проводились непосредственно в процессе ХТО с помощью высокотемпературного длиннофокусного микроскопа МВТ-71У4.2 (увеличение  $100^{x}$  и  $500^{x}$ ). На рис. 1 (б) показаны начальные стадии *in situ* азотирования деформационноактивированной поверхности стали X18AГ10Н16 ( $C_N = 0.5 \, \%N$ ) после вакуумного травления (T =  $1250^{\circ}$ C, P =  $10^{-5}$ мм Hg, t = 20 мин).



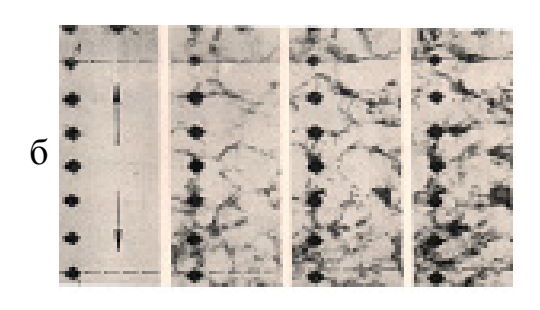


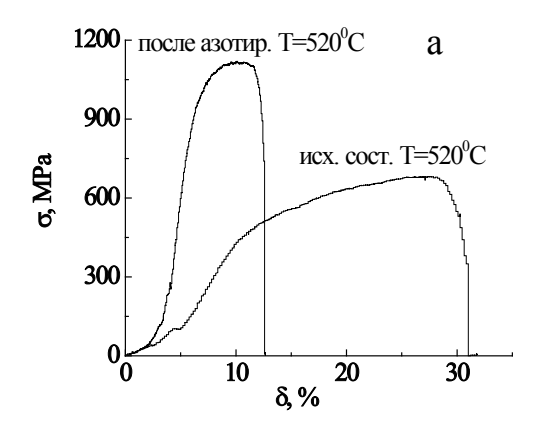
Рисунок 1 - Форма и размеры образцов ВАС (а); начальные стадии *in situ* азотирования:  $T_{as} = 520^{\circ}$ C, время  $t_{as} = 0$ , 10, 20 и 30 мин соответственно (б)

Интенсификация процессов формирования поверхностных XTO-структур осуществлялась в условиях пиролиза карбамида и диссоциации аммиака (T = 520°C, t =  $2\div6$  ч) и деформационной активации поверхности образцов BAC ( $\Delta\sigma$  =  $0\pm200$  H/м²).

Расчет характеристик прочности и пластичности ХТО-образцов проводили в соответствии с ГОСТ 1497-84. Ударную вязкость определяли на образцах с Uобразным надрезом (согласно ГОСТ 9454-78). Износостойкость ХТО-образцов определяли на машине 2168-УНЦ в условиях сухого трения. Износ оценивали (согласно ГОСТ 27860-88) по методу отпечатков от алмазного индентора. Испытания проводили при комнатной температуре, скорость скольжения V = 1 м/с, путь трения S =500 м, осевые нагрузки  $P = 20 \div 100$  Н. Величину износа вычисляли по формуле:  $I=0.125\cdot(L^2-l^2)/r$ , где I - износ (увеличение ширины отпечатков), мм; L - ширина отпечатков после испытания; I - ширина отпечатков до испытаний; r =10 мм - радиус контртела из стали ШX15 с твердостью 58 HRC. Распределение микротвердости по толщине азотированного слоя определяли на приборе ПМТ-3 при нагрузке Р = 1 Н (ГОСТ 9450-76). За эффективную толщину азотированного слоя принимали расстояние от поверхности до зоны с микротвердостью Н<sub>и</sub> = 450 МПа. Точность определения эффективной толщины слоя составляла ∆h = 2.5 мкм. Фазовый состав исследуемых сталей определяли методом рентгеноструктурного анализа (Дрон-3, излучение Со). С дополнительных возможностей управления прочностью XTO-образцов осуществляли закалку (T =  $620 \div 740^{\circ}$ C, t =  $30 \div 60$  мин, среда охлаждения: воздух, масло и вода), или охлаждение с печью (в атмосфере молекулярного азота).

**Результаты** исследований и их обсуждение. Исходной структурой ВАС перед азотированием является аустенит, что обеспечивает при ХТО получение однородных азотированных слоев без хрупкой нитридной сетки по границам аустенитных зерен. Обнаружено, что поверхностное азотирование ВАС X18АГ10Н16 ( $C_N$  = 1.1 %N) обеспечивает получение более глубоких диффузионных слоев по сравнению с образцами с меньшей объемной концентрацией азота ( $C_N$  = 0.06, 0.3 %N).

Показано, что увеличение толщины XTO-слоя приводит к повышению механических свойств BAC (рис. 2, а). XTO-обработка BAC X18AГ10H16 ( $C_N > 0.5\%N$ ) обладает рядом особенностей: высокой склонностью к деформации и повышенной термической стабильностью (рис. 2, б).



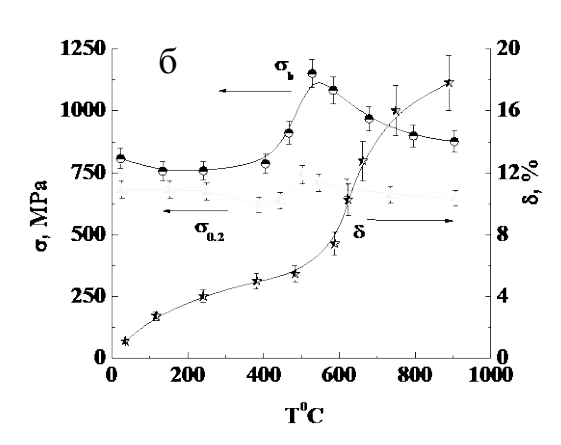


Рисунок 2 - Кривые деформации исходного и азотированного образцов стали X18АГ10Н16 ( $C_N$  = 1.1 %N) при T=520 $^0$ C (a); характер изменения механических свойств ( $\sigma_b$ ,  $\sigma_{0.2}$  и  $\delta$ ) XTO-образцов от температуры испытания (T=  $T_{\kappa}$  ÷ 1000  $^{\circ}$ C,  $\delta$ )

По данным РСА ХТО-структура стали X18АГ10Н16 ( $C_N = 1.1 \, \%N$ ) обладает высокой плотностью дислокаций:  $\Omega = (2 \div 5) \cdot 10^{11} \, \text{см}^{-2}$  и достаточно низким уровнем остаточных напряжений. Для получения градиентного поверхностного слоя применяли закалку. Обнаружено, что среда охлаждения (воздух, масло и вода) не оказывала

существенного влияния на характеристики механических свойств данной стали:  $\sigma_{\tau}$  = 1050  $\div$  1100 МПа, KCU = 0,8  $\div$  0,9 МДж/м<sup>2</sup>. После закалки (T = 750°C) микротвердость поверхности снижается с Н = 920 МПа до Н = 650 МПа и увеличивается эффективная толщина азотированного слоя:  $h_{9\Phi\Phi}$  = 150 мкм. Кроме этого, обнаружена разница в характере распределения микротвердости: Н мало изменяется при удалении от поверхности (до 200 мкм), в зоне до 300 мкм микротвердость начинает увеличиваться, а затем опять снижается. Это обусловлено изменением концентрации азота по сечению XTO-слоя. Нагрев до T = 600 °C не приводит к изменению Н<sub>и</sub>, что свидетельствует о высокой теплостойкости азотированного слоя стали X18АГ10Н16. Значительные изменения в слое происходят при нагреве до T = 650 °C и выше. С повышением температуры нагрева наблюдается тенденция к снижению максимальной микротвердости поверхностного слоя. Так, нагрев до  $T = 650 \, ^{\circ}\text{C}$  приводит к уменьшению микротвердости с  $H_{\mu}$  = 920 МПа до  $H_{\mu}$  = 780 МПа. Нагрев до T = 700 °C приводит к снижению H<sub>1</sub> от 920 МПа до 700 МПа. Закалка от T = 750°C снижает H<sub>1</sub> до 650 МПа. Разупрочнение азотированного слоя может быть вызвано коагуляцией нитридов, рекристаллизацией азотистой фазы или фазовой перекристаллизацией.

Рентгеноструктурными исследованиями показано, что нагрев до T = 600 °C не приводит к изменению структуры и фазового состава. Нагрев до T = 650 °C и охлаждение на воздухе обеспечивает закалку азотированного слоя. Повышение температуры до T  $\geq$  700 °C способствует увеличению толщины диффузионного слоя и обеспечивает растворение в аустените большего количества нитридов, что приводит к обогащению аустенита азотом и легирующими элементами, а также увеличивает его термическую устойчивость. Принципиальная особенность азотированного слоя ВАС типа X18AГ10H16 - отсутствие выделений  $\alpha$ -фазы после закалки на воздухе с различной скоростью охлаждения:  $\Delta$ T/ $\Delta$ t = 50  $\div$  100 °C/мин. Последующий отпуск при T = 400  $\div$  450 °C, t = 1  $\div$  2 ч, по данными рентгеновских исследований, также не приводил к выделению  $\alpha$ -фазы.

**Заключение.** Таким образом, XTO-азотирование и последующая закалка BAC типа X18AГ10H16 ( $C_N > 0.5 \, \%N$ ) позволяют получить высокие значения прочности, пластичности, ударной вязкости объема и износостойкости поверхностного слоя.

Применение методов интенсификации XTO позволило путем варьирования температурно-временными и газотранспортными режимами обработки, управлять скоростями протекания диффузионных процессов и нитридных выделений, формировать заданные поверхностные структуры, а также управлять физикомеханическими свойствами упрочненного слоя BAC. Их повышение возможно за счет термической обработки после азотирования.

Азотированная сталь после термической обработки способна обеспечить сочетание высоких значений прочности, пластичности, вязкости сердцевины и износостойкости поверхности. Интенсификация XTO способна повысить микротвердость, контактную выносливость, сопротивление изнашиванию, коррозионную стойкость и расширить возможности функционального применения ВАС.